

土木研究所 正員 山田 晴利
筑波大学 正員 西岡 隆

1. まえがき

構造物の耐震設計を確立するためには、設計地点に耐用期間中に来襲するであろう地震動のモデル化、基礎地盤等をも含めた構造物の動特性のモデル化、予想される地震動に対するモデル化された系の応答、および破壊に対する安全性の照査の四段階のそれそれを実験的・理論的に追求していくのがねばならない。本研究はショット・ノイズ加振をうける非線型系の応答を明らかにするとともに、Filtered Shot Noise を用いて地震波をモデル化することを目的としたものである。

2. ショット・ノイズ加振をうける非線型系の応答

非定常ショット・ノイズは確率過程の一つで、次式によって特徴づけられている。

$$E[S(t)] = 0, \quad E[S(t)S(t')] = I(t,t')\delta(t' - t) \quad \dots (1a, b)$$

ただし、 $E[\cdot]$ はアシサンブル平均を表わし、 $\delta(t)$ はDirac のデルタ函数である。 $I(t,t')$ は非負の値をとる確定函数でショット・ノイズの強度函数と呼ばれる。非定常ショット・ノイズの非定常性をとらえるために物理スペクトルを用いた。非定常ショット・ノイズの物理スペクトルは次式で与えられる。

$$S_{ss}(f, t; w) = \int_{-\infty}^{\infty} [w(t-u)]^2 \cdot I(u) du \quad \dots (2)$$

ただし、 $w(t)$ は物理スペクトルのウインドウ函数で、本研究では矩形型ウインドウを用いた。式(2)からわかるように、ショット・ノイズの物理スペクトルは時間のみの函数となり周波数には依存しない。

さて、線型系の場合には加振力の確率統計的性質が明らかなら、系の応答の確率統計的性質は比較的容易に求めることができますが、非線型系の場合にはそうとはいえない。しかし、加振力が正規ショット・ノイズないしは Filtered Shot Noise なら、系が非線型であってもその応答はマルコフ・ペクトルとなることが知られている。マルコフ・ペクトルはその初期条件が確率1で定まっているならば、推移確率密度函数によって完全に規定される。推移確率密度函数は Fokker-Planck 方程式を解くことによって得られるが、Fokker-Planck 方程式に対する解析解はほとんど得られていない。本研究では Fokker-Planck 方程式を重みつき残差法によって連立常微分方程式系へ変換し、これを Runge-Kutta-Gill 法で数値的に解き、推移確率密度函数を求め、非線型系の応答の確率統計的性質を明らかにする。

非線型系としては Duffing Oscillator を選んだ。

$$\ddot{X}(t) + 2\beta\omega_0\dot{X}(t) + \omega_0^2(X(t) + \eta X(t)^3) = S(t) \quad \dots (3)$$

ただし、 β 、 ω_0 、 η は定数で、 $0 < \beta < 1$ 、 $0 < \omega_0$ 。位相平面上のペクトル $[X(t), \dot{X}(t)] = [Y_1(t), Y_2(t)]$ はマルコフ・ペクトルとなり、推移確率密度函数 $\gamma(y_1, y_2, t | y_1^0, y_2^0, t_0)$ の充てんべき Fokker-Planck 方程式は、

$$\frac{\partial P}{\partial t} + y_2 \frac{\partial P}{\partial y_1} - \frac{\partial}{\partial y_2} [\{2\beta\omega_0 y_2 + \omega_0^2(y_1 + \eta y_1^3)\} P] - \frac{I(t)}{2} \frac{\partial^2 P}{\partial y_1^2} = 0. \quad \dots (4)$$

初期条件は $t = t_0$ で $\gamma(y_1, y_2, t_0 | y_1^0, y_2^0, t_0) = \delta(y_1 - y_1^0) \cdot \delta(y_2 - y_2^0)$ 。である。 P を次のようない形で近似する。

$$\hat{\gamma}(y_1, y_2, t | y_1^0, y_2^0, t_0) = \sum_k \sum_l Q^{kl}(t) \cdot g_k\left(\frac{y_1}{U(t)}\right) \cdot g_l\left(\frac{y_2}{U(t)}\right) \quad \dots (6)$$

ただし、 $U(t)$ はスケーリング函数、 $Q^{kl}(t)$ は未知函数で、 $g_n(x) = (-1)^{n-1} \cdot \frac{d^{n-1}}{dx^{n-1}} e^{-\frac{x^2}{2}}$ ($n \geq 1$) $\dots (7)$ Hermite 多項式を重み函数として選び、重みつき残差法を用いると $Q^{kl}(t)$ に関する連立常微分方程式系が得られる。これを数値的に解くことによって推移確率密度函数を、従って応答の統計量とうることができる。

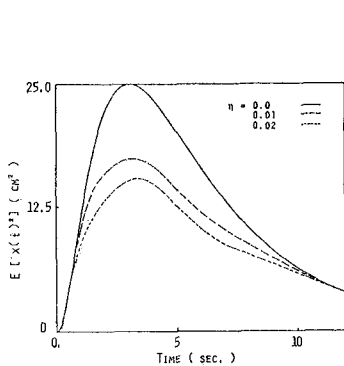
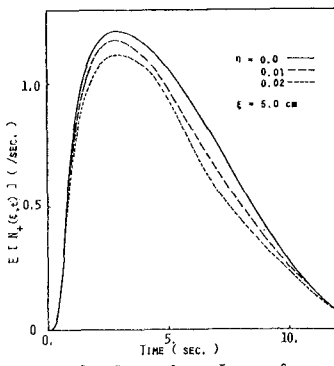
FIG. 1. VARIANCE OF DISPLACEMENT $X(t)$ 

FIG. 2. EXPECTED RATE OF THRESHOLD CROSSING

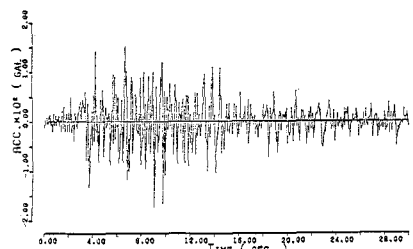


FIG. 3. TAFT EARTHQUAKE ACCELERATION (NZIE)

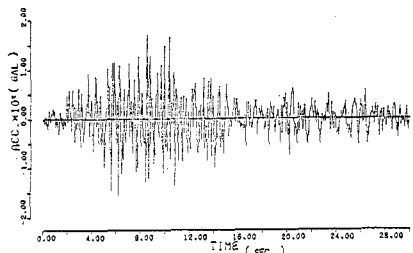


FIG. 3'. SIMULATED WAVE

式(3)で $\beta = 0.05$, $\omega_0 = 4\pi/\text{sec}$.
として Duffing Oscillator について η
の値を $0.$, 0.01 , 0.02 と変え、応
答の統計量を求めて結果を図1, 図2に
示す。ただしショット・ノイズの強度函
数は次のように仮定した。

$$I(t) = C \cdot (e^{-\alpha t} - e^{-\beta t}) \quad \dots (8)$$

$$\alpha = 0.25/\text{sec.}, \quad \beta = 0.8782/\text{sec.}, \quad C = 24845.88$$

図1は応答変位の分散を表している。これによると非線型項が入ると分散の最大値がかなり大きくなることがわかる。しかし加振力が小さいところでは非線型項の影響はほとんど現われない。図2は応答変位があるレベルを単位時間に下から上へ横切る回数の期待値を表している。この場合にも図1とはほぼ同じ傾向が認められる。

3. 地震波シミュレーション

すでに述べたようにショット・ノイズの物理スペクトルは周波数 f によらず一定となる。これに対しショット・ノイズを二次の線型フィルターを通して得られる Filtered Shot Noise の物理スペクトルは線型フィルターの固有周波数のところで鋭いピークをもつ。すなわち Filtered Shot Noise はほんの单一の周波数成分から成っており、その物理スペクトルは次式で与えられる。

$$S_{ff}(f, t; w) = \frac{e^{-4\pi\beta f t}}{4\pi^2 f_d^2 T} \int_0^\infty I(\tau) |H_e(f, t-\tau)|^2 e^{4\pi\beta f_0 \tau} d\tau \quad \dots (9)$$

ただし β , f_0 はそれぞれ線型フィルターの減衰定数、固有周波数で、 $f_0 = \sqrt{1 - \beta^2} \cdot f$, $H_e(f, t)$ は二変数 f , t の複素函数である。二つの独立な確率過程の和として得られる確率過程の物理スペクトルにはひとつの確率過程の物理スペクトルの和となるから、それぞれ異なって β と f_0 をもつ線型フィルターに適当な強度函数をもつたショット・ノイズを入力して得られる Filtered Shot Noise をいくつか重ね合わせることにより地震加速度波のもつ物理スペクトルと同じ物理スペクトルをもつ確率過程をシミュレートできるはずである。その際、ショット・ノイズの強度函数は式(9)で左辺を実地震波の物理スペクトルで置きかえて式を逆に解いて求めることができる。ここでは、TAFT NZIE 成分を対象としてシミュレーションを行なった。その結果得られたサンプルで実地震波とともに図3に示す。